

開水路輸送システムの解析法について

京都大学工学部 正員 寺田 敏輔
 鳥取大学工学部 正員 常松 考昭
 京都大学大学院〇学生員 綾 文郎

1. まえがき

水輸送システムには、管路による圧力輸送法と、開水路による重力輸送法の二つがある。従って理論を用いた管路による水輸送システムの流量解析については、前報で述べた。^{1,2)}本論文では、不定流を対象として、開水路系を集中定数系として扱い、グラフ理論を適用したシステムの流量解析法を行なった。これに、モデルケースについて、数値シミュレーションを行ない、分布定数系として扱い、実験値との比較を行なった。

2. グラフ理論を用いた開水路輸送システムの流量解析

一般に、開水路系を集中定数系として扱う場合、その基礎となるのは、貯留方程式と、連続方程式である。貯留量Sと影響を及ぼす因子としては、水路の本理学的、幾何学的特性と、流入量I、流出量Oが考えられる。以上水路は固有パラメータであるから、貯留量と、流出量との間に、 $S = f(I)$ 、 $S = g(I, O)$ の関数関係を仮定することができる。ここで、水路を一様と考へて、次のよう圧縮式を用ひる。³⁾

$$S = d(I^n + O^n) \quad (1)$$

また、連続方程式は、前記かく

$$\frac{dS}{dt} = I - O \quad (2)$$

水路が、網目状でなく、樹枝状であり、しかも水流がなく、全流のみがあり場合を考えると、水路系は、トリニティシステムと考えてよくなります。すな、流量I、Oはグラフの各枝について、定義され、貯留量Sは、グラフの各節点について定義される状態変量であるから、グラフ理論を適用することができる(図-1)。基礎方程式(1)、(2)を行行列およびベクトルを用いて、統一的に表現すると、以下のようになる。

貯留方程式

$$S = C \left[(\bar{A}Q) * N + (\bar{A}Q + Q) * N \right] \quad (3)$$

連続方程式

$$DS = (\bar{A}Q + Q) - \bar{A}Q \quad (4)$$

ここで、S；貯留量ベクトル、C；N；Nを成分とする対角行列、 \bar{A} ；出連結行列、 \bar{A} ；入連結行列、 \bar{A} 、 \bar{A} を用ひれば、接続行列 A は $A = \bar{A} - \bar{A}$ 、D；時間微分運算子、Q；流量ベクトル、Q；流量を成分とする対角行列、Q；システム内の節点への流入量ベクトルである。また、荷物 S は $|a_{ij}|$ 本 $|b_{ij}|$ 本おいて、 $a_{ii}b_{ii}$ が 3

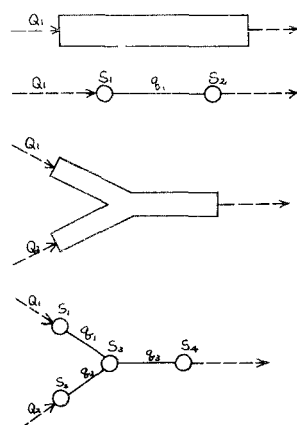


図-1

計算を意味する。

(3)左時間微分、重力項、 ∂ を左辺にかけ、以降代入すると、次の式が得られる。

$$NC(\bar{A}Q + Q) * (N - E) \partial(\bar{A}Q + Q) + \bar{A}Q + Q$$

$$= - NC(\bar{A}Q + Q) * (N - E) \partial(\bar{A}Q + Q) + \bar{A}Q + Q \quad (4)$$

(4)式、シントリード左端の m^3/s の節点へ流入する、枝部走行された m^3/s の既知流量の関係をあらわす微分方程式である。(5)の左辺は、ある節点に対して、流出する流量でありであり、右辺は、節点へ流入する流量でありである。したがって、枝の番号が左を上流側から、順序下へ行き、上流側から、計算を行なう。右辺はすべて既知量となる。(4)式は、(5)式は右辺について、一階の非線形差分方程式系となり、電子計算機を用いて、数値積分を行なうと、その解を求めることができる。

3. 計算例

計算に用いた水路は、底勾配 $i = 1/1000$ 、幅 $B = 100\text{m}$ 、Manning の粗度係数 $n = 0.025(\text{m} \cdot \text{sec})$ 、区間長 32 km と一樣で矩形断面水路である。上流端は右側の境界条件とした、総移動時間 12 時間、基底流量 $300\text{ m}^3/\text{s}$ 、 $\partial = 7$ 流量 $800\text{ m}^3/\text{s}$ の時間～流量曲線を用いた。

分布定数系を $\alpha = 1/2$ とし、Dynamic Wave モデルを用い、2 step-Lax-Wendroff 法で数値計算を行なった。計算条件は $1/2$ 尺、 $\Delta X = 400\text{ m}$ 、 $\Delta t = 50\text{ sec}$ とした。

集中型貯留モデルについて、 $\Delta t = 60\text{ sec}$ 、 $\Delta X = 800\text{ m}$ とした。計算を行なった。図(1)の係数 α 、 Δt 、 ΔX における $\alpha = 3/5$ 、 $\Delta t = 22300$ である。

得られた結果を図示すれば、図-2、図-3 となる。図-2 は、上流端と下流端とのハイドログラフであり、図-3 は、貯留量～時間曲線である。図-2 からわかるように集中型貯留モデルと、Dynamic Wave モデルとでは、ハイドログラフの立ち上がりが逆で、 $\partial = 7$ 近を除いて、全く一致している。集中型貯留モデルの生成、若干減衰結果が小さいようである。このことより、図-3 の貯留量をみればよくわかる。ひいては、貯留量を一致させたためには、 α の値をもう少し、大きめにとれよといふのである。また、計算時間は、Dynamic Wave モデル約 5 分に対し、集中型貯留モデル 40 分と、圧倒的に短い。電子計算機使用の立場を考慮すると、計算時間、70 台から 1 台の容易さからみる、有効手法と言える。

参考文献 1) 岩佐義朗、常松光昭、尾島章昭；電気輸送技術の水理特性について
2) 岩佐義朗、常松光昭、織田幹；電気による水輸送技術の特徴について
3) 岩佐義朗、常松光昭、関正和；淡水運輸に対する実験的研究について

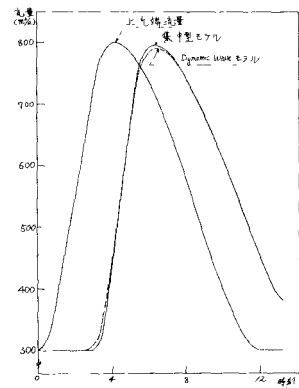


図-2

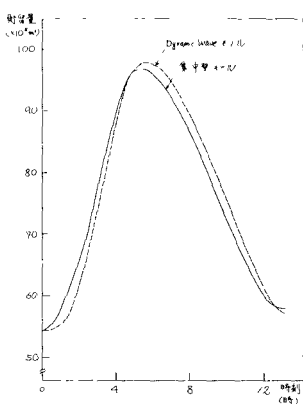


図-3

第47年度国民生活衛生調査会議論文集Ⅱ-17

第47回年次学術講演会講演摘要集Ⅱ-15

昭和47年度国民生活衛生調査会議論文集Ⅱ-18